

# ПАРАЛЛЕЛЬНЫЕ АЛГОРИТМЫ ВЫЧИСЛЕНИЯ МАТРИЦ ЖЕСТКОСТИ КОНЕЧНЫХ ЭЛЕМЕНТОВ ВЫСОКОГО ПОРЯДКА МНОГОМЕРНЫХ ЗАДАЧ МАТФИЗИКИ\*

А. Д. МАТВЕЕВ

*Вычислительный центр СО РАН в г. Красноярске, Россия*

Ю. В. НЕМИРОВСКИЙ

*Институт теоретической и прикладной механики СО РАН,  
Новосибирск, Россия*

Описываются параллельные алгоритмы построения матриц жесткости конечных элементов высокого порядка для задач теории упругости и для стационарных задач матфизики, описываемых квазигармоническим уравнением с переменными коэффициентами.

Процедура построения матриц жесткости конечных элементов высокого порядка многомерных задач матфизики имеет матричную формулировку и сводится к вычислению интегралов от функций, построенных в местной системе координат или в  $L$ -координатах [1, 2]. Интегралы определяются численно, и эта процедура связана с выполнением большого объема вычислений.

Использование высокопроизводительной вычислительной техники — параллельных компьютеров при многочисленных исследованиях дает максимальную выгоду [3–5]. Поэтому в последнее время известные методы решения задач механики модифицируются с точки зрения выделения в них параллельных алгоритмов.

В данной статье предлагаются параллельные алгоритмы построения матриц жесткости конечных элементов высокого порядка для задач теории упругости и для стационарных задач матфизики, описываемых квазигармоническим уравнением с переменными коэффициентами.

Краткая суть данного подхода состоит в том, что коэффициенты матрицы жесткости элементов определяются из условия минимизации квадратичного функционала краевой задачи, представленного в скалярной форме (в стандартной процедуре МКЭ функционал энергии имеет векторно-матричный вид), при определенном выборе структуры матрицы функций формы конечного элемента. Коэффициенты матрицы жесткости в данном случае выражаются в явном виде через группу интегралов.

Достоинства рассматриваемого подхода заключаются в том, что, во-первых, если переменные коэффициенты квазигармонического уравнения или модули упругости анизотропного неоднородного тела являются полиномами, то все интегралы в предложенных

---

\*© А. Д. Матвеев, Ю. В. Немировский, 1996.

алгоритмах для элементов формы прямоугольника или прямоугольной призмы определяются аналитически; во-вторых, интегралы в данном подходе определяются независимо друг от друга, и, следовательно, для их вычисления эффективно используются параллельные алгоритмы; и в-третьих, как показывают численные эксперименты, время построения матриц жесткости на моноЭВМ (однопроцессорной ЭВМ) по формулам предлагаемых процедур существенно меньше времени вычисления по известной матричной процедуре МКЭ [1, 2] при равных условиях их реализации.

Вначале рассмотрим построение параллельных алгоритмов вычисления матриц жесткости конечных элементов для трехмерной задачи упругости. Не теряя общности суждений и для удобства изложения будем считать, что конечный элемент  $V_e$  второго порядка имеет форму прямоугольной призмы и расположен в декартовой системе координат  $XYZ$  (рис. 1),  $\xi\eta\zeta$  — местная система координат.

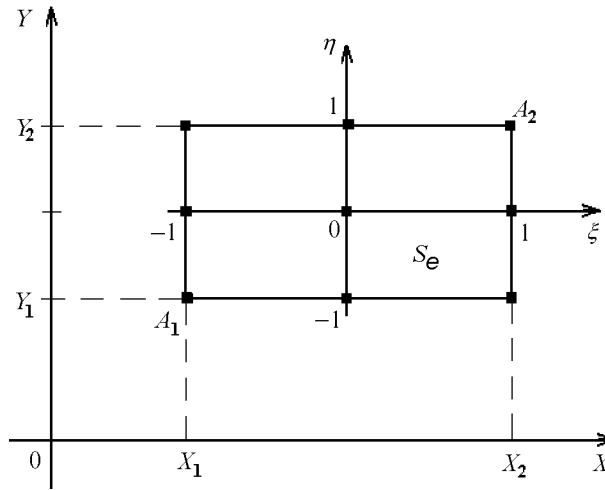


Рис. 1.

Пусть для анизотропного неоднородного конечного элемента  $V_e$  выполняются соотношения Гука и Коши [6]:

$$\{\sigma\} = [D]\{\varepsilon\}, \quad (1)$$

$$\begin{aligned} \varepsilon_x &= \frac{\partial u}{\partial x}, & \varepsilon_y &= \frac{\partial v}{\partial y}, & \gamma_{xy} &= \frac{\partial u}{\partial y} + \frac{\partial v}{\partial x}, \\ \varepsilon_z &= \frac{\partial w}{\partial z}, & \gamma_{xz} &= \frac{\partial u}{\partial z} + \frac{\partial w}{\partial x}, & \gamma_{yz} &= \frac{\partial v}{\partial z} + \frac{\partial w}{\partial y}, \end{aligned} \quad (2)$$

где  $\{\sigma\} = \{\sigma_x \sigma_y \sigma_z \tau_{yz} \tau_{xz} \tau_{xy}\}^T$ ,  $\{\varepsilon\} = \{\varepsilon_x \varepsilon_y \varepsilon_z \gamma_{yz} \gamma_{xz} \gamma_{xy}\}^T$  — векторы напряжений и деформаций;  $u, v, w$  — перемещения элемента  $V_e$ ,  $[D]$  — матрица модулей упругости  $C_{ij}$  элемента  $V_e$ ,  $C_{ij} = C_{ji}$ ,  $C_{ij} = C_{ij}(x, y, z)$ ,  $i, j = 1, \dots, 6$ ;  $T$  — транспонирование, функции  $C_{i,j}$  удовлетворяют условиям эллиптичности [7].

Пусть функции  $C_{ij}$  в области элемента  $V_e$  являются полиномами вида

$$C_{i,j} = \sum_{k=1}^m r_k^{ij} \psi_k \quad (r_k^{ij} \text{ — действительные числа}), \quad (3)$$

где

$$\psi_k = x^{\bar{\alpha}_k} y^{\bar{\beta}_k} z^{\bar{\gamma}_k} \quad (\bar{\alpha}_k, \bar{\beta}_k, \bar{\gamma}_k - \text{целые числа}). \quad (4)$$

Используя известные функции формы  $N_1, \dots, N_n$  элемента  $V_e$ , записанные в местной системе координат  $\xi\eta\zeta$  [1, 2], представим их в глобальной системе координат  $XYZ$ , которые имеют вид

$$N_\alpha = \sum_{j=1}^n r_{\alpha_j} \varphi_j \quad (r_{\alpha_j} - \text{действительные числа}), \quad (5)$$

$$\varphi_j = x^{\alpha_j} y^{\beta_j} z^{\gamma_j} \quad (\alpha_j, \beta_j, \gamma_j - \text{целые числа}). \quad (6)$$

Следуя МКЭ [1], аппроксимирующие функции перемещений  $u, v, w$  элемента  $V_e$  определим соотношением

$$\begin{Bmatrix} u \\ v \\ w \end{Bmatrix} = [N]\{\delta\}, \quad \{\delta\} = \begin{Bmatrix} \delta_1 \\ \vdots \\ \delta_{3n} \end{Bmatrix}, \quad (7)$$

где структуру матрицы функций формы  $[N]$  элемента  $V_e$  представим в форме [3]

$$[N] = \begin{bmatrix} N_1 \dots N_n & 0 \dots 0 & 0 \dots 0 \\ 0 \dots 0 & N_1 \dots N_n & 0 \dots 0 \\ 0 \dots 0 & 0 \dots 0 & N_1 \dots N_n \end{bmatrix}. \quad (8)$$

Согласно (7), (8), вектор  $\{\delta\}$  узловых неизвестных элемента  $V_e$  имеет следующую структуру:  $\delta_1, \dots, \delta_n$  есть узловые значения перемещений  $u$ ,  $\delta_{n+1}, \dots, \delta_{2n}$  — перемещений  $v$ ,  $\delta_{2n+1}, \dots, \delta_{3n}$  — перемещений  $w$ . Функционал  $W_e$  энергии деформаций элемента  $V_e$  для представления (1) имеет вид

$$\begin{aligned} W_e = \int_{V_e} \left\{ \varepsilon_x \left( \frac{1}{2} C_{11} \varepsilon_x + C_{12} \varepsilon_y + C_{13} \varepsilon_z + C_{14} \gamma_{yz} + C_{15} \gamma_{xz} + C_{16} \gamma_{xy} \right) + \right. \\ + \varepsilon_y \left( \frac{1}{2} C_{22} \varepsilon_y + C_{23} \varepsilon_z + C_{24} \gamma_{yz} + C_{25} \gamma_{xz} + C_{26} \gamma_{xy} \right) + \\ + \varepsilon_z \left( \frac{1}{2} C_{33} \varepsilon_z + C_{34} \gamma_{yz} + C_{35} \gamma_{xz} + C_{36} \gamma_{xy} \right) + \\ + \gamma_{yz} \left( \frac{1}{2} C_{44} \gamma_{yz} + C_{45} \gamma_{xz} + C_{46} \gamma_{xy} \right) + \\ \left. + \gamma_{xz} \left( \frac{1}{2} C_{55} \gamma_{xz} + C_{56} \gamma_{xy} \right) + \gamma_{xy} \frac{1}{2} C_{66} \gamma_{xy} \right\} dV, \quad (9) \end{aligned}$$

здесь  $V_e$  область элемента в системе координат  $XYZ$ .

Из условия  $\frac{\partial W_e}{\partial \delta_i} = 0, i = 1, \dots, 3n$ , используя при этом в (9) представления (2), (7), (8), т.е. учитывая структуру вектора  $\{\delta\}$ , получаем формулы для вычисления коэффициентов  $K_{\alpha\beta}$  ( $\alpha, \beta = 1, \dots, 3n$ ) верхней треугольной части матрицы жесткости  $[K]$  элемента  $V_e$ :

$$K_{\alpha\beta} = \int_{V_e} \{ C_{11} a_{\alpha\beta} + C_{15} (p_{\alpha\beta} + p_{\beta\alpha}) + C_{16} (d_{\alpha\beta} + d_{\beta\alpha}) + C_{56} (f_{\alpha\beta} + f_{\beta\alpha}) + \}$$

$$\begin{aligned}
& +C_{55}q_{\alpha\beta} + C_{66}b_{\alpha\beta}\} dV, \\
K_{\alpha+2n, \beta+2n} &= \int_{V_e} \{C_{33}q_{\alpha\beta} + C_{34}(f_{\alpha\beta} + f_{\beta\alpha}) + C_{35}(p_{\alpha\beta} + p_{\beta\alpha}) + \\
& +C_{45}(d_{\alpha\beta} + d_{\beta\alpha}) + C_{44}b_{\alpha\beta} + C_{55}a_{\alpha\beta}\} dV, \\
K_{\alpha+n, \beta+n} &= \int_{V_e} \{C_{22}b_{\alpha\beta} + C_{24}(f_{\alpha\beta} + f_{\beta\alpha}) + C_{26}(d_{\alpha\beta} + d_{\beta\alpha}) + \\
& +C_{46}(p_{\alpha\beta} + p_{\beta\alpha}) + C_{44}q_{\alpha\beta} + C_{66}a_{\alpha\beta}\} dV, \tag{10}
\end{aligned}$$

здесь  $\alpha = 1, \dots, n, \quad \beta = \alpha, \dots, n;$

$$\begin{aligned}
K_{\alpha+n, \beta+2n} &= \int_{V_e} \{C_{23}f_{\alpha\beta} + C_{24}b_{\alpha\beta} + C_{25}d_{\beta\alpha} + \\
& +C_{34}q_{\alpha\beta} + C_{36}p_{\alpha\beta} + C_{45}p_{\beta\alpha} + C_{46}d_{\alpha\beta} + C_{44}f_{\beta\alpha} + C_{56}a_{\alpha\beta}\} dV, \\
K_{\alpha, \beta+2n} &= \int_{V_e} \{C_{13}p_{\alpha\beta} + C_{14}d_{\alpha\beta} + C_{15}a_{\alpha\beta} + \\
& +C_{35}q_{\alpha\beta} + C_{36}f_{\alpha\beta} + C_{45}f_{\beta\alpha} + C_{46}b_{\alpha\beta} + C_{55}p_{\beta\alpha} + C_{56}d_{\beta\alpha}\} dV, \\
K_{\alpha, \beta+n} &= \int_{V_e} \{C_{12}d_{\alpha\beta} + C_{14}p_{\alpha\beta} + C_{25}f_{\beta\alpha} + C_{26}b_{\alpha\beta} + C_{45}q_{\alpha\beta} + \\
& +C_{16}a_{\alpha\beta} + C_{56}p_{\beta\alpha} + C_{46}f_{\alpha\beta} + C_{66}d_{\beta\alpha}\} dV, \tag{11}
\end{aligned}$$

здесь  $\alpha, \beta = 1, \dots, n;$

$$a_{\alpha\beta} = \frac{\partial N_\alpha}{\partial x} \frac{\partial N_\beta}{\partial x}, \quad b_{\alpha\beta} = \frac{\partial N_\alpha}{\partial y} \frac{\partial N_\beta}{\partial y}, \quad q_{\alpha\beta} = \frac{\partial N_\alpha}{\partial z} \frac{\partial N_\beta}{\partial z}, \tag{12}$$

$$\alpha = 1, \dots, n, \quad \beta = \alpha, \dots, n,$$

$$p_{\alpha\beta} = \frac{\partial N_\alpha}{\partial x} \frac{\partial N_\beta}{\partial z}, \quad d_{\alpha\beta} = \frac{\partial N_\alpha}{\partial x} \frac{\partial N_\beta}{\partial y}, \quad f_{\alpha\beta} = \frac{\partial N_\alpha}{\partial y} \frac{\partial N_\beta}{\partial z}, \tag{13}$$

$$\alpha, \beta = 1, \dots, n.$$

Подставляя (5) в (12), (13) и учитывая (3), формулы (10), (11) представим в виде

$$\begin{aligned}
K_{\alpha\beta} &= C_{11\alpha\beta}^a + \dots + C_{55\alpha\beta}^p + C_{66\alpha\beta}^b, \\
K_{\alpha+n, \beta+n} &= C_{22\alpha\beta}^b + \dots + C_{44\alpha\beta}^q + C_{66\alpha\beta}^a, \\
K_{\alpha+2n, \beta+2n} &= C_{33\alpha\beta}^q + \dots + C_{44\alpha\beta}^b + C_{55\alpha\beta}^a, \\
\alpha &= 1, \dots, n \quad \beta = \alpha, \dots, n,
\end{aligned} \tag{14}$$

$$\begin{aligned}
K_{\alpha+n, \beta+2n} &= C_{23\alpha\beta}^f + C_{24\alpha\beta}^b + \dots + C_{56\alpha\beta}^a, \\
K_{\alpha, \beta+2n} &= C_{13\alpha\beta}^p + C_{14\alpha\beta}^d + \dots + C_{55\beta\alpha}^p, \\
K_{\alpha, \beta+n} &= C_{12\alpha\beta}^d + C_{14\alpha\beta}^p + \dots + C_{46\alpha\beta}^f, \tag{15}
\end{aligned}$$

$$\alpha, \beta = 1, \dots, n,$$

где обозначено

$$C_{11\alpha\beta}^a = \int_{V_e} C_{11} a_{\alpha\beta} dV, \dots, C_{46\alpha\beta}^f = \int_{V_e} C_{46} f_{\alpha\beta} dV,$$

$$C_{11\alpha\beta}^a = \sum_{i=1}^n \sum_{j=1}^n \sum_{k=1}^m r_{\alpha_i} r_{\beta_j} r_k^{11} \bar{C}_{11ijk}^a,$$

$$\dots$$

$$C_{55\alpha\beta}^a = \sum_{i=1}^n \sum_{j=1}^n \sum_{k=1}^m r_{\alpha_i} r_{\beta_j} r_k^{55} \bar{C}_{55ijk}^a, \quad (16)$$

$$\alpha = 1, \dots, n \quad \beta = \alpha, \dots, n,$$

$$C_{23\alpha\beta}^f = \sum_{i=1}^n \sum_{j=1}^n \sum_{k=1}^m r_{\alpha_i} r_{\beta_j} r_k^{23} \bar{C}_{23ijk}^f,$$

$$\dots$$

$$C_{46\alpha\beta}^f = \sum_{i=1}^n \sum_{j=1}^n \sum_{k=1}^m r_{\beta_i} r_{\alpha_j} r_k^{46} \bar{C}_{46ijk}^f, \quad (17)$$

здесь  $\alpha, \beta = 1, \dots, n$ ,

$$\bar{C}_{11ijk}^a = \int_{V_e} \varphi_x^i \varphi_x^j \psi_k dV, \dots, \bar{C}_{46ijk}^f = \int_{V_e} \varphi_y^i \varphi_z^j \psi_k dV, \quad (18)$$

$$\varphi_x^i = \partial \varphi_j / \partial x, \quad \varphi_y^j = \partial \varphi_j / \partial y, \quad \varphi_z^z = \partial \varphi_j / \partial z.$$

Итак, в силу (14) – (17) коэффициенты матрицы жесткости элемента  $V_e$  в явном виде могут быть выражены через группу интегралов (18), для нахождения которых в силу (12), (13) достаточно вычислить 6 типов интегралов:

$$J_1 = \int_{V_e} \varphi_x^i \varphi_x^j \psi_k dV, \quad J_2 = \int_{V_e} \varphi_y^i \varphi_y^j \psi_k dV, \quad J_3 = \int_{V_e} \varphi_z^i \varphi_z^j \psi_k dV,$$

здесь  $i = 1, \dots, n$ ;  $j = i, \dots, n$  и

$$J_4 = \int_{V_e} \varphi_x^i \varphi_y^j \psi_k dV, \quad J_5 = \int_{V_e} \varphi_y^i \varphi_z^j \psi_k dV, \quad J_6 = \int_{V_e} \varphi_x^i \varphi_z^j \psi_k dV,$$

здесь  $i, j = 1, \dots, n$ . В самом деле, например,  $C_{11ijk}^a = C_{15ijk}^a$ ,  $C_{15ijk}^p = C_{13ijk}^p$  и т. д.

Пусть интегралы (18), т. е.  $J_1, \dots, J_6$ , определяются численно. Заметим, что для элементов  $V_e$  формы тетраэдра интегралы  $J_1$  следует определять в  $L$ -координатах, для  $V_e$  (рис. 1) – в местной системе координат  $\xi\eta\zeta$ .

Рассмотрим один из вариантов параллельного алгоритма вычисления интегралов  $J_i$ , который выполняется на параллельном компьютере с шестью процессорами. Работа этого алгоритма показана на рис. 2. Основная программа расщепляется на шесть параллельных ветвей (вычислений):  $L_1, \dots, L_6$ , которые реализуются соответственно на процессорах:  $P_1, \dots, P_6$ . Процессоры  $P_i$  работают одновременно и независимо друг от друга. Блок А

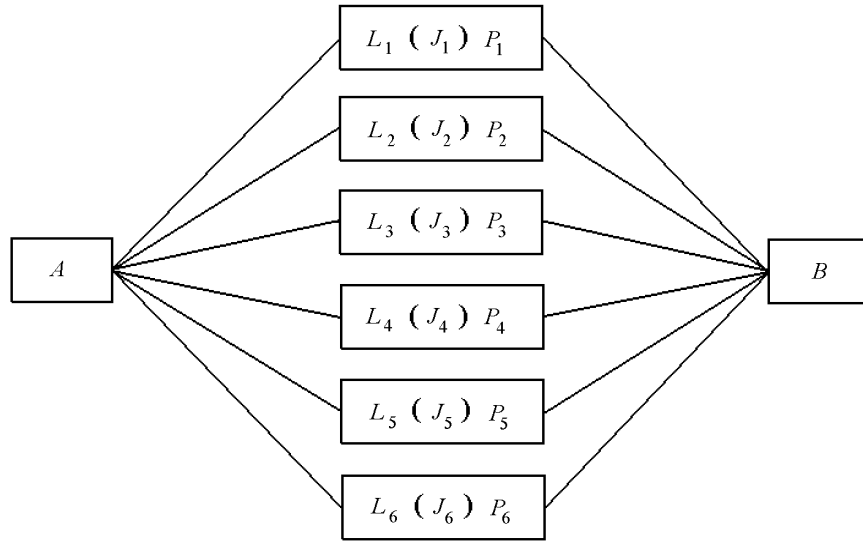


Рис. 2.

содержит операторы ввода и подготовки исходных данных, оператор распараллеливания вычислений (ветвей) и оператор распределения данных. Вначале выполняются операторы блока  $A$ , которые расположены в основной программе. Затем операторы ветвей  $L_1, \dots, L_6$  соответственно вычисляют группы интегралов  $J_1, \dots, J_6$  на процессорах  $P_1, \dots, P_6$ .

Блок  $B$  содержит операторы, которые вычисляют коэффициенты матрицы жесткости элемента по формулам (14) — (15) и расположены в программе. Эти операторы выполняются после завершения параллельных вычислений  $L_i$ .

Для однородного элемента  $V_e$  ( $C_{ij} = \text{const}$ , т. е.  $\psi_k = \text{const}$ ) общее число интегралов равно  $N = 3n(n+1)/2 + 3n^2$ . Следовательно, максимальное число параллельных ветвей равно  $N$ . Тогда в этом случае время выполнения параллельного алгоритма на параллельном компьютере, имеющем  $N$  процессоров, в  $t/N$  раз меньше, чем на моноЭВМ ( $t$  — время вычисления  $N$  интегралов на моноЭВМ). Например, для квадратичного элемента  $V_e(n=20)$ :  $N = 1830$ .

Отметим, что в блоках  $A, B$ , используя принцип потока данных [5], можно выделить ряд систем параллельных вычислений, имеющих структуру графов [4].

Расчеты на моноЭВМ показывают, что при численном интегрировании время построения матрицы жесткости однородного квадратичного элемента  $V_e$  формы куба по формулам (10) — (13) в 5 раз меньше времени вычисления  $[K]$  по матричной формуле МКЭ [1, 2], т.е. по формуле

$$[K] = \int_{V_e} [B]^T [D] [B] dV,$$

где  $[B]$  — матрица, связывающая  $\{\varepsilon\}$  и  $\{\delta\}$  при одинаковом выборе числа точек интегрирования в области  $V_e$ .

Для элемента  $V_e$  (см. рис. 1) интегралы (18) определяются аналитически. Используя (4), (6) в (18) при  $\alpha_j, \beta_j, \gamma_j \geq 1$  найдем

$$\bar{C}_{11ijk}^a = \frac{\alpha_i \alpha_j (X_2^{a_{xx}} - X_1^{a_{xx}})}{a_{xx}} \frac{(Y_2^{b_{xx}} - Y_1^{b_{xx}})}{b_{xx}} \frac{(Z_2^{c_{xx}} - Z_1^{c_{xx}})}{c_{xx}},$$

$$\dots$$

$$\bar{C}_{46ijk}^f = \frac{\beta_i \gamma_j (X_2^{a_{yz}} - X_1^{a_{yz}})}{a_{yz}} \frac{(Y_2^{b_{yz}} - Y_1^{b_{yz}})}{b_{yz}} \frac{(Z_2^{c_{yz}} - Z_1^{c_{yz}})}{c_{yz}}, \quad (19)$$

где

$$a_{xx} = \alpha_i + \alpha_j + \bar{\alpha}_k - 1, \quad b_{xx} = \beta_i + \beta_j + \bar{\beta}_k + 1,$$

$$c_{xx} = \gamma_i + \gamma_j + \bar{\gamma}_k + 1, \quad \dots, \quad a_{yz} = \alpha_i + \alpha_j + \bar{\alpha}_k,$$

$$b_{yz} = \beta_i + \beta_j + \bar{\beta}_k, \quad c_{yz} = \gamma_i + \gamma_j + \bar{\gamma}_k + 1$$

$(X_1, Y_1, Z_1), (X_2, Y_2, Z_2)$  — координаты узлов  $A_1, A_2$  элемента  $V_e$  в глобальной системе координат  $XYZ$  (см. рис. 1).

При  $\alpha_j, \beta_j, \gamma_j = 0$  вычисления по формулам (14)–(17), (19) упрощаются. Например, если  $\alpha_j = 0$ , то в силу (6) имеем  $\partial\varphi_j/\partial x = 0$ , и, следовательно, в силу (18) получим  $\bar{C}_{11ijk}^a = 0$  и т. д.

Коэффициенты нижней треугольной части матрицы жесткости элемента  $V_e$  определяются из условия ее симметрии, т. е.

$$K_{\beta\alpha} = K_{\alpha\beta} \quad \alpha = 1, \dots, 3n; \quad \beta = \alpha, \dots, 3n.$$

Пусть срединная поверхность недеформируемого тонкого прямоугольного анизотропного неоднородного конечного элемента  $S_e$  высокого порядка, находящегося в плоском напряженном состоянии, расположена в плоскости  $XOY$ . На рис. 3 показан прямоугольный элемент  $S_e$  второго порядка в общей системе координат  $XY$  и в местной системе координат  $\xi\eta$ .

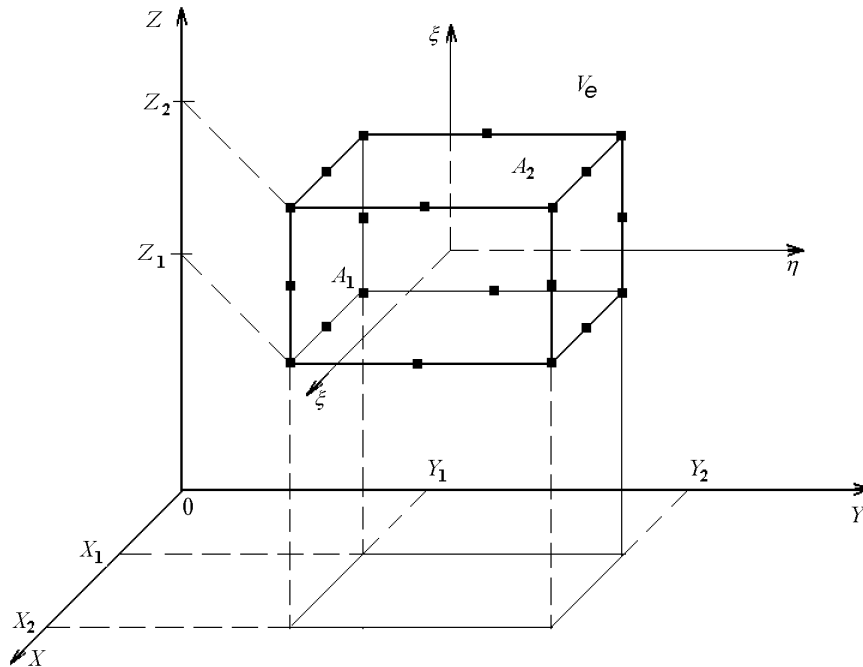


Рис. 3.

Напряжения  $\sigma_x, \sigma_y, \tau_{xy}$ , деформации  $\varepsilon_x, \varepsilon_y, \gamma_{xy}$  и перемещения  $u, v$  элемента  $S_e$  связаны соотношениями Гука и Коши [6]:

$$\{\sigma\} = [D]\{\varepsilon\}, \quad (20)$$

$$\varepsilon_x = \frac{\partial u}{\partial x}, \quad \varepsilon_y = \frac{\partial v}{\partial y}, \quad \gamma_{xy} = \frac{\partial u}{\partial y} + \frac{\partial v}{\partial x}, \quad (21)$$

где  $[D]$  — матрица упругости;  $\{\sigma\}, \{\varepsilon\}$  — векторы напряжений и деформаций,  $C_{ij}$  — модули упругости элемента  $S_e$ :

$$\{\sigma\} = \begin{Bmatrix} \sigma_x \\ \sigma_y \\ \tau_{xy} \end{Bmatrix}, \quad [D] = \begin{bmatrix} C_{11} & C_{12} & C_{13} \\ C_{12} & C_{22} & C_{23} \\ C_{13} & C_{23} & C_{33} \end{bmatrix}, \quad \{\varepsilon\} = \begin{Bmatrix} \varepsilon_x \\ \varepsilon_y \\ \gamma_{xy} \end{Bmatrix}.$$

Пусть функции  $C_{ij}$  на  $S_e$  в системе координат  $XU$  имеют вид

$$C_{ij} = \sum_{k=1}^m r_k^{ij} \psi_k \quad (r_k^{ij} \text{ — действительные числа}), \quad (22)$$

где

$$\psi_k = x^{\bar{\alpha}_k} y^{\bar{\beta}_k} \quad (\bar{\alpha}_k, \bar{\beta}_k \text{ — целые числа}). \quad (23)$$

Отметим, что гладкие функции  $C_{ij}$ , заданные для пластины, всегда можно на узловой сетке данного разбиения представить в виде (26), используя, например, линейные или квадратичные интерполяционные полиномы [2].

Потенциальная энергия  $W_e$  деформаций  $S_e$  элемента с учетом (22), (23) имеет вид

$$W_e = \int_{S_e} \left\{ \varepsilon_x \left( \frac{1}{2} C_{11} \varepsilon_x + C_{12} \varepsilon_y + C_{13} \gamma_{xy} \right) + \varepsilon_y \left( \frac{1}{2} C_{22} \varepsilon_y + C_{23} \gamma_{xy} \right) + \right. \\ \left. + \frac{1}{2} \gamma_{xy} C_{33} \gamma_{xy} \right\} dS. \quad (24)$$

Аппроксимирующие функции перемещений  $u, v$  элемента  $S_e$  по МКЭ определяются соотношением

$$\begin{Bmatrix} u \\ v \end{Bmatrix} = [N] \{\delta\}, \quad (25)$$

где  $[N]$  — матрица функций формы  $S_e$  размерности  $(2 \times 2n)$ ,  $\{\delta\}$  — вектор узловых параметров МКЭ элемента  $S_e$  размерности  $2n$ . За счет перестановки параметров вектора  $\{\delta\}$  матрицу  $[N]$  представим в форме

$$[N] = \begin{bmatrix} N_1 \dots N_n & 0 \dots 0 \\ 0 \dots 0 & N_1 \dots N_n \end{bmatrix}, \quad (26)$$

где  $N_\alpha$  — функции формы элемента  $S_e$  ( $\alpha = 1, \dots, n$ ), построенные по алгоритмам МКЭ в общей системе координат  $XU$

$$N_\alpha = \sum_{j=1}^n r_{\alpha_j} \varphi_j, \quad (27)$$

где

$$\varphi_j = x^{\alpha_j} y^{\beta_j} \quad (28)$$

$r_{\alpha_j}$  — действительные,  $\alpha_j, \beta_j$  — целые числа.

Используя представления (21) — (27), из условия

$$\frac{\partial W_e}{\partial \delta_i} = 0, \quad i = 1, \dots, 2n$$



определяем верхнюю треугольную часть матрицы жесткости  $[K]$  для элемента  $S_e$ , коэффициенты которой вычисляются по формулам

$$\begin{aligned}
 K_{\alpha\beta} &= \int_{S_e} \{C_{11}A_{\alpha\beta} + C_{13}(D_{\alpha\beta} + D_{\beta\alpha}) + C_{33}B_{\alpha\beta}\} dS, \\
 K_{\alpha+n, \beta+n} &= \int_{S_e} \{C_{22}B_{\alpha\beta} + C_{23}(D_{\alpha\beta} + D_{\beta\alpha}) + C_{33}A_{\alpha\beta}\} dS, \\
 &\quad \alpha = 1, \dots, n, \quad \beta = \alpha, \dots, n, \\
 K_{\alpha, \beta+n} &= \int_{S_e} \{C_{12}D_{\alpha\beta} + C_{13}A_{\alpha\beta} + C_{23}B_{\alpha\beta} + C_{33}D_{\beta\alpha}\} dS, \\
 &\quad \alpha, \beta = 1, \dots, n,
 \end{aligned} \tag{29}$$

где

$$\begin{aligned}
 A_{\alpha\beta} &= \frac{\partial N_\alpha}{\partial x} \frac{\partial N_\beta}{\partial x}, & B_{\alpha\beta} &= \frac{\partial N_\alpha}{\partial y} \frac{\partial N_\beta}{\partial y}, \\
 &\alpha = 1, \dots, n, & &\beta = \alpha, \dots, n, \\
 D_{\alpha\beta} &= \frac{\partial N_\alpha}{\partial x} \frac{\partial N_\beta}{\partial y} & &\alpha, \beta = 1, \dots, n.
 \end{aligned}$$

Дифференцируя (27) с учетом (28), получим

$$\frac{\partial N_\alpha}{\partial x} = \sum_{j=1}^n r_{\alpha_j} \varphi_x^j, \quad \frac{\partial N_\alpha}{\partial y} = \sum_{j=1}^n r_{\alpha_j} \varphi_y^j, \tag{31}$$

$$\varphi_x^j = \frac{\partial \varphi_j}{\partial x} = \alpha_j x^{\alpha_j-1} y^{\beta_j}, \quad \varphi_y^j = \frac{\partial \varphi_j}{\partial y} = \beta_j x^{\alpha_j} y^{\beta_j-1}. \tag{32}$$

Подставляя (30) в (29) с учетом (31), (32), выражения (29) представим в форме

$$\begin{aligned}
 K_{\alpha\beta} &= C_{11\alpha\beta}^a + C_{13\alpha\beta}^d + C_{13\beta\alpha}^d + C_{33\alpha\beta}^b, \\
 K_{\alpha+n, \beta+n} &= C_{22\alpha\beta}^b + C_{23\alpha\beta}^d + C_{23\beta\alpha}^d + C_{33\alpha\beta}^a, \\
 &\quad \alpha = 1, \dots, n, \quad \beta = \alpha, \dots, n, \\
 K_{\alpha, \beta+n} &= C_{12\alpha\beta}^d + C_{13\alpha\beta}^a + C_{23\alpha\beta}^b + C_{33\alpha\beta}^d, \\
 &\quad \alpha, \beta = 1, \dots, n,
 \end{aligned}$$

где обозначено

$$C_{11\alpha\beta}^a = \int_{S_e} C_{11} A_{\alpha\beta} dS, \dots, C_{33\alpha\beta}^d = \int_{S_e} C_{33} D_{\alpha\beta} dS,$$

$$\begin{aligned}
 C_{11\alpha\beta}^a &= \sum_{i=1}^n \sum_{j=1}^n \sum_{k=1}^m r_{\alpha_i} r_{\beta_j} r_k^{11} \bar{C}_{11ijk}^a, \\
 &\dots
 \end{aligned}$$

$$C_{33\alpha\beta}^d = \sum_{i=1}^n \sum_{j=1}^n \sum_{k=1}^m r_{\alpha_i} r_{\beta_j} r_k^{33} \bar{C}_{33ijk}^d, \quad (34)$$

$$\bar{C}_{11ijk}^a = \int_{S_e} \varphi_x^i \varphi_x^j \psi_k dS, \dots, \bar{C}_{33ijk}^d = \int_{S_e} \varphi_x^i \varphi_y^j \psi_k dS. \quad (35)$$

Итак, согласно (33), (34) коэффициенты матрицы жесткости  $[K]$  в явном виде зависят от группы интегралов (35). Для нахождения интегралов (35) достаточно вычислить интегралы типа

$$\int_{S_e} \varphi_x^i \varphi_x^j \psi_k dS, \quad \int_{S_e} \varphi_y^i \varphi_y^j \psi_k dS, \quad \int_{S_e} \varphi_x^i \varphi_y^j \psi_k dS,$$

здесь  $i = 1, \dots, n, \quad j = 1, \dots, n$ .

Для прямоугольного  $S_e$  (рис. 3) эти интегралы определяются аналитически. Подставляя (23), (32) в (35), имеем

$$\begin{aligned} \bar{C}_{ijk}^a &= \frac{\alpha_i \alpha_j (X_2^{a_{xx}} - X_1^{a_{xx}}) (Y_2^{b_{xx}} - Y_1^{b_{xx}})}{a_{xx} b_{xx}}, \\ &\dots \\ \bar{C}_{ijk}^d &= \frac{\alpha_i \beta_j (X_2^{a_{xy}} - X_1^{a_{xy}}) (Y_2^{b_{xy}} - Y_1^{b_{xy}})}{a_{xy} b_{xy}}, \end{aligned} \quad (36)$$

где  $a_{xx} = \alpha_i + \alpha_j + \bar{\alpha}_k - 1$ ,  $b_{xx} = \beta_i + \beta_j + \bar{\beta}_k + 1$ ,  $\dots$ ,  $a_{xy} = \alpha_i + \alpha_j + \bar{\alpha}_k$ ,  $b_{xy} = \beta_i + \beta_j + \bar{\beta}_k$ ;  $(X_1, Y_1)$ ,  $(X_2, Y_2)$  — координаты узлов  $A_1, A_2$  элемента  $S_e$  (см. рис. 2).

Коэффициенты нижней треугольной части матрицы  $[K]$  определяются из условия ее симметрии.

При  $\alpha_i, \beta_i = 0$  имеем  $\varphi_x^i = 0, \varphi_y^i = 0$  и, следовательно, в силу (35) получаем  $\bar{C}_{ijk}^a = 0, \bar{C}_{ijk}^d = 0$  и т.д. Аналогично, как и для трехмерных элементов, определяем интегралы (35) с применением параллельных вычислений для высокоточных треугольных и четырехугольных элементов, используя при этом местные системы координат или  $L$ -координаты. В данном параллельном алгоритме вычисления интегралов максимальное число параллельных ветвей для однородного элемента  $S_e$  равно  $N = 3n(n+1)/2$ .

Рассмотрим экономичную процедуру построения матрицы жесткости конечного элемента  $V_e$  высокого порядка формы прямоугольного параллелепипеда для стационарных краевых задач, которые описываются квазигармоническим уравнением [2] (записанным в декартовой системе координат  $XYZ$ ) с переменными коэффициентами

$$\frac{\partial}{\partial x} \left( K_{xx} \frac{\partial \varphi}{\partial x} \right) + \frac{\partial}{\partial y} \left( K_{yy} \frac{\partial \varphi}{\partial y} \right) + \frac{\partial}{\partial z} \left( K_{zz} \frac{\partial \varphi}{\partial z} \right) + Q = 0 \quad \text{в } V \in R^3 \quad (37)$$

с граничными условиями

$$\varphi = \varphi_0 \quad \text{на } S_1 \quad (\varphi_0 \text{ задана}) \quad (38)$$

и (или) на  $S_2$ :

$$K_{xx} \frac{\partial \varphi}{\partial x} l_x + K_{yy} \frac{\partial \varphi}{\partial y} l_y + K_{zz} \frac{\partial \varphi}{\partial z} l_z + q + h(\varphi - \varphi_\infty) = 0, \quad (39)$$

где  $S = S_1 + S_2$  — полная граница области  $V$ ;  $q, h = \text{const}$ ;  $l_x, l_y, l_z$  — направляющие косинусы вектора нормали к границе  $S_2$ ; функции  $Q = Q(x, y, z)$ ,  $K_{xx} = K_{xx}(x, y, z)$ ,  $K_{yy} = K_{yy}(x, y, z)$ ,  $K_{zz} = K_{zz}(x, y, z)$  удовлетворяют условиям эллиптичности [7].

Пусть исходная область  $V$  представлена конечными элементами  $V_e$  высокого порядка (см. рис. 1) и пусть функции  $K_{xx}, K_{yy}, K_{zz}$  в области конечных элементов  $V_e$  являются полиномами вида

$$K_{xx} = \sum_{k=1}^m r_k^{xx} u_k, \quad K_{yy} = \sum_{k=1}^m r_k^{yy} u_k, \quad K_{zz} = \sum_{k=1}^m r_k^{zz} u_k, \quad (40)$$

где

$$u_k = x^{\bar{\alpha}_k} y^{\bar{\beta}_k} z^{\bar{\gamma}_k}; \quad (41)$$

здесь  $r_k^{xx}, r_k^{yy}, r_k^{zz}$  — действительные числа,  $\bar{\alpha}_k, \bar{\beta}_k, \bar{\gamma}_k$  — целые числа.

Аппроксимирующую функцию  $\varphi$  элемента  $V_e$  определяем по МКЭ в глобальной системе координат  $XYZ$ , которая имеет вид [1, 2]

$$\varphi = [N_1 \dots N_n] \begin{Bmatrix} \delta_1 \\ \vdots \\ \delta_n \end{Bmatrix}, \quad (42)$$

где

$$N_\alpha = \sum_{j=1}^n r_{\alpha_j} \psi_j \quad (r_{\alpha_j} — действительные числа), \quad (43)$$

$$\psi_j = x^{\alpha_j} y^{\beta_j} z^{\gamma_j} \quad (\alpha_j, \beta_j, \gamma_j — целые числа). \quad (44)$$

Из условия  $\frac{\partial W_e}{\partial \delta_i} = 0, \quad i = 1, \dots, n$ , где

$$W_e = \int_{V_e} \frac{1}{2} \left[ K_{xx} \left( \frac{\partial \varphi}{\partial x} \right)^2 + K_{yy} \left( \frac{\partial \varphi}{\partial y} \right)^2 + K_{zz} \left( \frac{\partial \varphi}{\partial z} \right)^2 + 2Q\varphi \right] dS + \\ + \int_{S_e} \left[ q\varphi + \frac{1}{2} h(\varphi - \varphi_\infty)^2 \right] dS; \quad (45)$$

здесь  $S_e$  — поверхность элемента  $V_e$ .

Используя (42), (43) в (45) с учетом (40), получаем формулы для вычисления коэффициентов  $K_{\alpha\beta} (\alpha, \beta = 1, \dots, n)$  верхней треугольной части матрицы жесткости  $[K]$  элемента  $V_e$

$$K_{\alpha\beta} = A_{\alpha\beta} + B_{\alpha\beta} + C_{\alpha\beta} + P_{\alpha\beta}, \quad (46)$$

где

$$\alpha = 1, \dots, n, \quad \beta = \alpha, \dots, n,$$

$$A_{\alpha\beta} = \sum_{i=1}^n \sum_{j=1}^n \sum_{k=1}^m r_{\alpha_i} r_{\beta_j} r_k^{xx} \bar{A}_{ijk},$$

$$B_{\alpha\beta} = \sum_{i=1}^n \sum_{j=1}^n \sum_{k=1}^m r_{\alpha_i} r_{\beta_j} r_k^{yy} \bar{B}_{ijk},$$

$$C_{\alpha\beta} = \sum_{i=1}^n \sum_{j=1}^n \sum_{k=1}^m r_{\alpha_i} r_{\beta_j} r_k^{zz} \bar{C}_{ijk},$$

$$P_{\alpha\beta} = h \sum_{i=1}^n \sum_{j=1}^n r_{\alpha i} r_{\beta j} \bar{P}_{ij}, \quad (47)$$

$$\begin{aligned} \bar{A}_{ijk} &= \int_{V_e} \frac{\partial \psi_i}{\partial x} \frac{\partial \psi_j}{\partial x} u_k dS, & \bar{B}_{ijk} &= \int_{V_e} \frac{\partial \psi_i}{\partial y} \frac{\partial \psi_j}{\partial y} u_k dS, \\ \bar{C}_{ijk} &= \int_{V_e} \frac{\partial \psi_i}{\partial z} \frac{\partial \psi_j}{\partial z} u_k dS, & \bar{P}_{ij} &= \int_S \psi_i \psi_j dS. \end{aligned} \quad (48)$$

Итак, в силу (46), (47) коэффициенты  $K_{\alpha\beta}$  матрицы жесткости элемента  $V_e$  выражаются в явном виде через группу интегралов (48). Отметим, что  $\bar{A}_{ijk} = \bar{A}_{jik}$ ,  $\bar{B}_{ijk} = \bar{B}_{jik}$ ,  $\bar{C}_{ijk} = \bar{C}_{jik}$ ,  $\bar{P}_{ij} = \bar{P}_{ji}$ . Аналогично, как и для трехмерных элементов задачи упругости, определяются интегралы (48) с применением параллельных вычислений. Для трехмерной задачи (37) при  $K_{xx} = K_{yy} = K_{zz} = \text{const}$  в параллельном алгоритме вычисления интегралов (48) максимальное число параллельных ветвей равно  $N = 2n(n+1)$ .

Для конечного элемента  $V_e$  формы прямоугольной призмы интегралы (48) определяются аналитически. Используя (41), (44), в (48) при  $\alpha_i, \beta_i, \gamma_i \geq 1$  имеем

$$\begin{aligned} \bar{A}_{ijk} &= \frac{\alpha_i \alpha_j (X_2^{a_x} - X_1^{a_x}) (Y_2^{a_x} - Y_1^{a_x}) (Z_2^{a_x} - Z_1^{a_x})}{a_x b_x c_x}, \\ &\dots \\ \bar{C}_{ijk} &= \frac{\gamma_i \gamma_j (X_2^{a_z} - X_1^{a_z}) (Y_2^{b_z} - Y_1^{b_z}) (Z_2^{c_z} - Z_1^{c_z})}{a_z b_z c_z}, \end{aligned} \quad (49)$$

где

$$a_x = \alpha_i + \alpha_j + \bar{\alpha}_k - 1, \quad b_x = \beta_i + \beta_j + \bar{\beta}_k + 1,$$

$$c_x = \gamma_i + \gamma_j + \bar{\gamma}_k + 1, \dots,$$

$$a_z = \alpha_i + \alpha_j + \bar{\alpha}_k + 1, \quad b_z = \beta_i + \beta_j + \bar{\beta}_k - 1,$$

$$c_z = \gamma_i + \gamma_j + \bar{\gamma}_k - 1,$$

$$\bar{P}_{ij} = \frac{(X_2^{a_0} - X_1^{a_0}) (Y_2^{b_0} - Y_1^{b_0}) (Z_2^{c_0} - Z_1^{c_0})}{a_0 b_0 c_0}; \quad (50)$$

здесь  $a_0 = \alpha_i + \alpha_j + 1$ ,  $b_0 = \beta_i + \beta_j + 1$ ,  $c_0 = \gamma_i + \gamma_j + 1$ ,  $(X_1, Y_1, Z_1), (X_2, Y_2, Z_2)$  — координаты узлов  $A_1, A_2$  элемента  $V_e$  в глобальной системе координат  $XYZ$  (см. рис. 1).

При  $\alpha_j, \beta_j, \gamma_j = 0$  вычисления по формулам (46), (47), (49) упрощаются. Например, при  $\alpha_j = 0$  в силу (44), (48) имеем  $\bar{A}_{ijk} = 0$ , при  $\beta_i = 0$  имеем  $\bar{B}_{ijk} = 0$  и т. д. Нижняя треугольная часть матрицы  $[K]$  элемента  $V_e$  определяется из условия ее симметрии.

Расчеты, проведенные на моноЭВМ, показывают, что при численном интегрировании время построения матрицы жесткости элемента  $V_e$  второго порядка формы куба для задачи Дирихле ( $K_{xx} = K_{yy} = K_{zz} = 1$ ) по формулам (46)–(48) примерно в 1.8 раз меньше, чем по стандартной процедуре МКЭ, и в 2.5 раз меньше для элемента  $V_e$  третьего порядка.

Результаты данной работы являются обобщением результатов [8, 9].

## Список литературы

- [1] ЗЕНКЕВИЧ О. *Метод конечных элементов в технике*. Мир, М., 1975.
- [2] СЕГЕРЛИНД Л. *Применение метода конечных элементов*. Мир, М., 1977.
- [3] СЕРЕБРЯКОВ В. А. Модель и язык для параллельных вычислений при решении научных задач. *Журн. вычисл. матем. и матем. физ.*, **33**, №7, 1993, 1083–1103.
- [4] ВОЕВОДИН В. В. *Математические модели и методы в параллельных процессах*. Наука, М., 1986.
- [5] ОРТЕГА ДЖ. *Введение в параллельные и векторные методы решения линейных систем*. Мир, М., 1991.
- [6] ДЕМИДОВ С. П. *Теория упругости*. Высшая школа, М., 1979.
- [7] РЕКТОРИС К. *Вариационные методы в математической физике и технике*. Мир, М., 1985.
- [8] МАТВЕЕВ А. Д., НЕМИРОВСКИЙ Ю. В. Энергетический метод определения матриц жесткости двумерных и трехмерных высокоточных элементов. *Механика деформируемого твердого тела*. ТГУ, Томск, 1988, 95–106.
- [9] МАТВЕЕВ А. Д. *Аналитический метод построения жесткостей однородных элементов высокого порядка двух-, трехмерных задач упругости*. ВЦ СО РАН, Красноярск, 1993.

Поступила в редакцию 12 мая 1996 г.